Journal of Organometallic Chemistry, 304 (1986) 309-321 Elsevier Sequoia S.A., Lausanne - Printed in The Netherlands

# DARSTELLUNG UND REAKTIONEN VON DIPHOSPHEN-KOMPLEXEN RP=PR[M(CO)<sub>5</sub>]<sub>3</sub> (M = Cr, Mo, W)

#### GOTTFRIED HUTTNER\*, JUTTA BORM und LASZLO ZSOLNAI

Lehrstuhl für Synthetische Anorganische Chemie, Fakultät für Chemie, Universität Konstanz, Postfach 5560, D-7750 Konstanz (B.R.D.)

(Eingegangen den 29. Oktober 1985)

## **Summary**

Decacarbonyldimetallates  $Na_2M_2(CO)_{10}$  (M = Cr, Mo, W) react with dihalophosphanes, (R)P(Cl)<sub>2</sub>, to yield trinuclear diphosphene complexes of the form RP=PR[M(CO)<sub>5</sub>]<sub>3</sub>. The by-products of these reactions are diphosphane- and phosphido-bridged complexes.

The trinuclear diphosphene compounds add HX ( $X = CH_3COO$ ,  $CH_3O$ ) or dienes to the P=P double bond; in the course of these additions one M(CO)<sub>5</sub> group is cleaved and binuclear derivatives of diphosphanes are obtained.

## Zusammenfassung

Decacarbonyldimetallate,  $Na_2M_2(CO)_{10}$  (M = Cr, Mo, W), reagieren mit Dihalogenphosphanen, (R)P(Cl)<sub>2</sub>, under Bildung dreikerniger Diphosphen-Komplexe, RP=PR[M(CO)<sub>5</sub>]<sub>3</sub>. Als Nebenprodukte werden bei diesen Synthesen, Diphosphanund Phosphid-verbrückte Komplexe beobachtet.

Die dreikernigen Diphosphen-Komplexe lagern HX (X = CH<sub>3</sub>COO, CH<sub>3</sub>O) oder Diene an die P=P-Doppelbindung an. Dabei wird eine M(CO)<sub>5</sub>-Gruppe abgespalten und zweikernige Diphosphan-Derivate werden erhalten.

## **Einleitung**

Die Umsetzung von Decacarbonyldimetallaten  $Na_2M_2(CO)_{10}$  (M = Cr, Mo, W [1]) mit vicinalen Dihalogenverbindungen (R)X(Hal)<sub>2</sub> der fünften Hauptgruppe bildet einen einfachen Zugang zu Verbindungen mit X-X oder M-X Mehrfachbindungen P: [2], As: [3], Sb: [4], Bi: [5].

Wir berichten hier über die Anwendung dieses Prinzips zur Synthese dreikerniger Diphosphen-Komplexe RP=PR[M(CO)<sub>5</sub>]<sub>3</sub>, sowie über Additionsreaktionen an die P=P-Doppelbindung dieser Komplexe.

# Diskussion

Synthese von  $RP=PR[M(CO)_5]_3$ 

Bei der Reaktion von Na<sub>2</sub>M<sub>2</sub>(CO)<sub>10</sub> mit (R)P(Cl)<sub>2</sub> entstehen die Verbindungen Ia-g als Hauptprodukte.

Die Reaktionen verlaufen, wenigstens vermutlich zum Teil, über die intermediäre

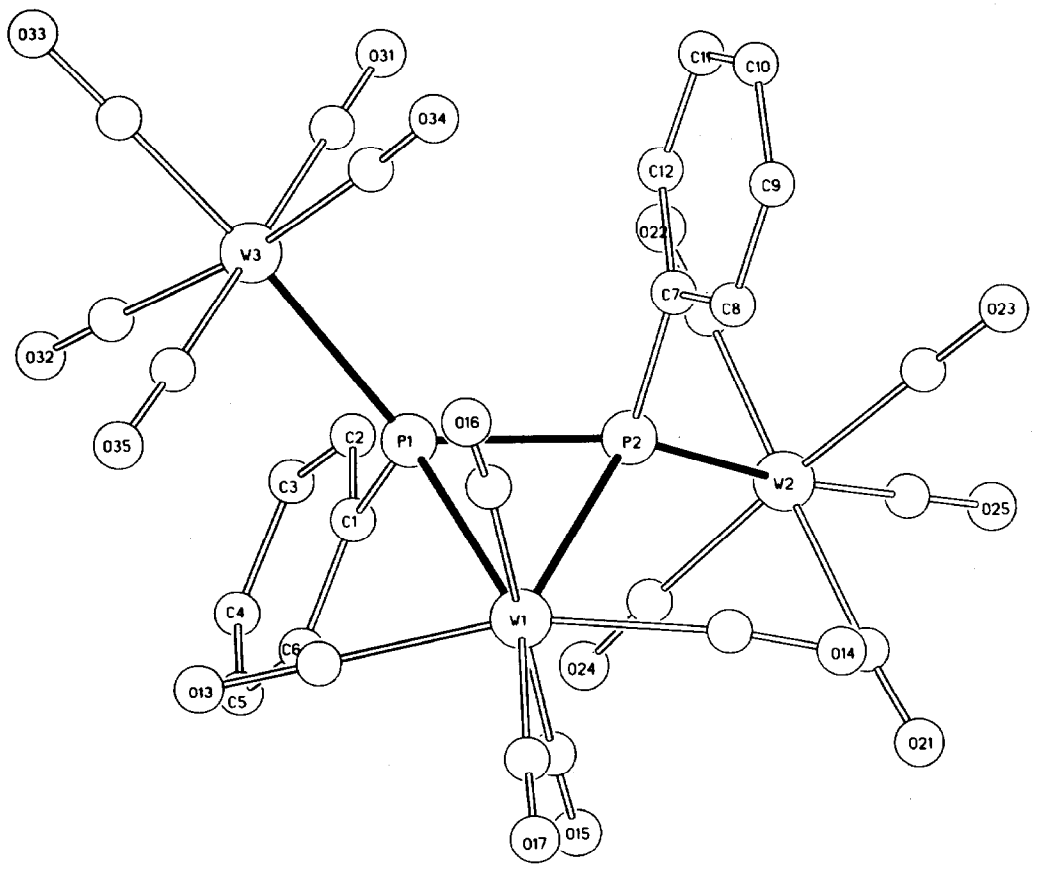


Fig. 1. Ansicht der Struktur von Ib.

TABELLE 1
DIE WICHTIGSTEN ABSTÄNDE (pm) UND WINKEL (°) VON Ib a

P(1)-P(2)	214(1)	(214(1))
P(1)-W(3)	253.8(9)	(253.9(9))
P(2)-W(2)	253.2(7)	(254.0(7))
P(1)-W(1)	259.2(9)	(260.1(9))
P(2)-W(1)	261.6(6)	(260.0(7))
P(1)-C(1)	185(2)	(185(2))
P(2)-C(7)	183(3)	(179(2))
W(3)-C <sub>CO</sub>	$189(2)_{ax}-205(3)_{ea}$	$(201(3)_{ax}-207(2)_{eq})^{-1}$
W(2)-C <sub>CO</sub>	$192(4)_{ax}-203(3)_{eq}$	$(189(3)_{ax}-205(3)_{ea})$
$W(1)$ - $C_{CO}$	$196(3)_{ax} - 204(4)_{eq}$	$(196(3)_{ax}-205(4)_{eq})$
P(2)-P(1)-W(3)	126.7(4)	(130.5(4))
P(1)-P(2)-W(2)	127.3(3)	(129.3(4))
P(1)-P(2)-C(7)	104(1)	(104(1))
P(2)-P(1)-C(1)	106(1)	(104(1))
P(2)-P(1)-W(1)	66.3(3)	(65.7(3))
P(1)-P(2)-W(1)	65.1(3)	(65.8(3))
P(1)-W(1)-P(2)	48.6(3)	(48.5(3))
C(14)-W(1)-C(13)	161(1)	(176(1))
C(15)-W(1)-C(16)	177.1(9)	(163(1))
Torsionswinkel (°)		
P(1)-P(2)-W(1)-C(14)	-175.7	(175.4)
W(2)-P(2)-P(1)-W(3)	-123.6	(127.7)
C(7)-P(2)-P(1)-C(1)	151.7	(-142.2)

<sup>&</sup>lt;sup>a</sup> In Klammern: Die jeweils entsprechenden Werte für das zweite unabhängige Molekül im Kristall.

Bildung von Phosphiniden-Komplexen RP[M(CO)<sub>5</sub>]<sub>2</sub> [2a,6]: Die Reaktionsprodukte sind nach Abziehen des Lösungsmittels zunächst orangefarben; beim Aufnehmen in Methylenchlorid bilden sich die für Phosphiniden-Komplexe charakteristische, intensiv blau-grünfarbenen Lösungen. Die intensiven Farben verblassen jedoch rasch, und bei der chromatographischen Aufarbeitung erhält man gelbe bis rote Produkte von denen die Verbindungen I den Hauptanteil ausmachen.

Der beschriebene Farbwechsel lässt sich damit erklären, dass beim Aufnehmen in Methylenchlorid die orangefarbenen THF-Addukte  $RP[M(CO)_5]_2$  (THF) in basenfreie, intensiv farbige Phosphiniden-Komplexe  $RP[M(CO)_5]_2$  übergehen, die dann zu Diphosphen-Komplexen weiterreagieren. Der letzte Schritt ist dadurch wahrscheinlich gemacht, dass wechselseitige Umwandlungen von  $RX[L_nM]_2$  und  $RX=XR[L_nM]_3$  mehrfach auch präparativ realisiert wurden [7,8].

Die Struktur der Verbindungen I ergibt sich zweifelsfrei aus dem Vergleich ihrer spektroskopischen Daten (Tab. 3) mit denen der bereits früher auch strukturanalytisch charakterisierten Verrbindung Ia.

Da Ib unter EI-Bedingungen im Massenspektrum als Peak mit der höchsten Molmasse nur  $M^+$ – 28 erkennen liess, wurde sein Bau zusätzlich noch strukturanalytisch bestätigt (Fig. 1, Tab. 1) [9].

Ia und Ib bilden isotype Strukturen mit jeweils zwei Formeleinheiten in der asymmetrischen Einheit der Elementarzelle. Signifikant verschieden sind erwartungsgemäss nur diejenigen Abstände, die Bindungen zu den Wolfram- und Chromatomen betreffen, während die übrigen Strukturparameter einschliesslich der die Konformation beschreibenden Torsionswinkel der Verbindungen Ia und Ib einander sehr ähnlich sind. Auffällig ist, dass der Unterschied zwischen den P-M-Bindungslängen der end-on und der side-on gebundenen M(CO)<sub>5</sub>-Einheiten in Ia noch etwa 13 pm beträgt, während er auf nurmehr 7 pm in Ib reduziert ist (Tab. 1).

# Nebenprodukte

Auf die intermediäre Bildung von Phosphiniden-Komplexen bei der Darstellung von I wurde oben verwiesen. Bei der Darstellung von If, g beobachtet man als Nebenreaktion die Bildung der Dichlordiphosphan-Komplexe IIa, b.

$$(R)P(CI)_{2} + Na_{2}Cr_{2}(CO)_{10} \xrightarrow{THF} (CO)_{5}Cr \xrightarrow{P} P - Cr(CO)_{5} + I$$

$$(R)P(CI)_{2} + Na_{2}Cr_{2}(CO)_{10} \xrightarrow{THF} (CO)_{5}Cr \xrightarrow{P} P - Cr(CO)_{5} + I$$

$$(IIa: R = Et; (If)$$

$$IIb: R = {}^{n}Bu) (Ig)$$

Die Bildung dieser Verbindungen weist auf die schrittweise Enthalogenierung der Edukte (R)P(Cl)<sub>2</sub> durch Na<sub>2</sub>Cr<sub>2</sub>(CO)<sub>10</sub> hin. Ob dabei radikalische Zwischenstufen (R)P(Cl)[Cr(CO)<sub>5</sub>] als Intermediate auftreten oder ob die Reaktionen durch Metallhalogenaustausch im Sinne der Bildung von {(R)P(Cl)[Cr(CO)<sub>5</sub>]} Na und anschliessende kondensierende Kopplung mit (R)P(Cl)<sub>2</sub>[Cr(CO)<sub>5</sub>] gebildet werden, kann aus den Experimenten nicht abgeleitet werden. Für den Halogen-Metall-Austausch sprechen präparative Untersuchungen an (R)P(Cl)<sub>2</sub>[L<sub>n</sub>M] [10]; radikalische Intermediate scheinen in Analogie zu den unerwartet stabilen Verbindungen L<sub>n</sub>MSR [11] ebenfalls nicht unwahrscheinlich. Die Verbindungen II sind kristalline gelbe Festkörper, deren Zusammensetzung und Bau aus den spektroskopischen Daten im Vergleich mit anderen Komplexen (R)X(Cl)-(Cl)X(R)[M(CO)<sub>5</sub>]<sub>2</sub> [12] gesichert ist.

Bei der Darstellung von Ia tritt als Nebenprodukt der Diphosphan-Komplex III auf.

$$(Ph)P(Cl)_{2} + Na_{2}Cr_{2}(CO)_{10} \xrightarrow{THF} (CO)_{5}Cr - P - P - Cr(CO)_{5} + Ia \\ + Ph \\ (III)$$

Unter den hier angewendeten Reaktionsbedingungen konnte die Bildung des zu II homologen Dichlordiphosphan-Komplexes (Ph)P(Cl)–(Cl)P(Ph)[Cr(CO)<sub>5</sub>]<sub>2</sub> nicht beobachtet werden, obwohl dieser Komplex stabil und in zwei stereoisomeren Formen auch röntgenographisch charakterisiert ist [12a]. Als Entstehungsweg von III sind mehrere Alternativen denkbar: III könnte aus einer zu II analogen Dichlordiphosphan-Vorstufe durch Metallhalogenaustausch und nachfolgende Hydrolyse gebildet werden; denkbar wäre auch, die Reduktion eines Diphosphen-Komplexes (Ph)P=P(Ph)[Cr(CO)<sub>5</sub>]<sub>2</sub> zum entsprechenden Dinatriumdiphosphid-Derivat mit nachfolgender Hydrolyse. Geeignete Bedingungen für die jeweils notwendige Hydrolyse bietet das zur Chromatographie verwendete Silicagel. Auch eine H-Abstraktion aus dem Solvens stellt einen möglichen Reaktionsschritt dar [13]. III ist ein kristalliner gelber Festkörper, dessen Identität durch Analyse und Spektren sowie durch den Vergleich mit anderen Diphosphan-Komplexen [14] gesichert ist.

Bei der Umsetzung von (¹Bu)P(Cl)<sub>2</sub> mit Na<sub>2</sub>Cr<sub>2</sub>(CO)<sub>10</sub> war als Hauptprodukt der Phosphiniden-Komplex ¹BuP[Cr(CO)<sub>5</sub>]<sub>2</sub> isoliert worden [2b]. Mit den Decacarbonyldimetallaten von Molybdän und Wolfram reagiert (¹Bu)P(Cl)<sub>2</sub> zunächst analog: Nach Abziehen des als Solvens verwendeten THF erhält man tiefblaue Reaktionsmischungen, die mit ihrer intensiven Farbe auf die Bildung der entsprechenden Phosphiniden-Komplexe hinweisen. Beim Aufnehmen dieser Reaktionsmischungen in Methylenchlorid entstehen zunächst auch tiefblaue Lösungen, die jedoch innerhalb von 5 (Mo) bzw. 20 min (W) eine rote Farbe annehmen. Die einzigen bislang aus dem Gemisch von Zersetzungsprodukten chromatographisch rein erhaltenen Verbindungen sind die roten, kristallinen Komplexe IV.

$$(^{t}Bu)P(Cl)_{2} + Na_{2}M_{2}(CO)_{10}$$

THF

 $(CO)_{4}M$ 
 $P$ 
 $H$ 
 $^{t}Bu$ 
 $H$ 
 $(CO)_{4}M + \cdots$ 
 $H$ 
 $^{t}Bu$ 
 $(IVa: M = Mo; IVb: M = W)$ 

Der Weg auf dem diese Komplexe entstehen ist unklar; die Anwesenheit von PH-Funktionen lässt, wie oben, die Hydrolyse von vorgebildeten Natriumsalzen vermuten; ebenso würde aber auch H-Abstraktion aus dem Lösungsmittel eine Erklärung bieten [13].

Von den beiden für Verbindungen des Typs IV denkbaren Isomeren (cis- bzw. trans-ständige Reste R) wird jeweils nur ein Isomer erhalten. Sowohl <sup>31</sup>P- als auch <sup>1</sup>H-NMR-Spektren belegen diese Aussage. Die Röntgenstrukturanalyse von IVb [8]

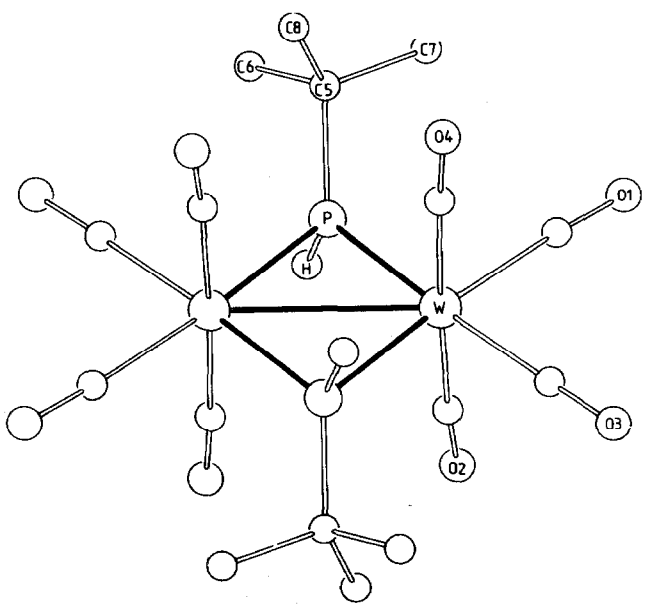


Fig. 2. Ansicht der Struktur von IVb.

TABELLE 2
DIE WICHTIGSTEN ABSTÄNDE (pm) UND WINKEL (°) VON IVb

301.7(2)	P(1)-W(1)-P(1')	103.9(2)
245.1(8)/244.7(6)	W(1)-P(1)-W(1')	52.0(2)
201(2)/201(3)	P(1)-W(1)-C(1)	87.0(8)/84.6(6)
201(2)/199(2)		
183(3)	C(1)-W(1)-C(3)	85(1)
130	C(2)-W(1)-C(4)	176.6(9)
•	C(4)-W(1)-P(1)	94(1)/86.6(7)
	C(4)-W(1)-C(1)	86.5(8)/92(1)
	W(1)-P(1)-C(5)	127.2(7)
	245.1(8)/244.7(6) 201(2)/201(3) 201(2)/199(2) 183(3)	245.1(8)/244.7(6) W(1)-P(1)-W(1') 201(2)/201(3) P(1)-W(1)-C(1) 201(2)/199(2) 183(3) C(1)-W(1)-C(3) 130 C(2)-W(1)-C(4) C(4)-W(1)-P(1) C(4)-W(1)-C(1)

<sup>&</sup>lt;sup>a</sup> Angenommen.

zeigt, dass das sterisch weniger belastete trans Isomer gebildet wird (Fig. 2, Tab. 2) [15].

Wie in Verbindungen  $[W(CO)_4]_2-\mu_2-L_2$  üblich [15], bildet die Gruppierung der Ringatome W und L eine Ebene. Die Koordination der Wolfram-Zentren ist idealisiert oktaedrisch; zwischen den Wolfram-Zentren besteht eine Bindung (Tab. 2).

# Reaktionen von $RP=PR(Cr(CO)_5)$ ,

Für Ia hatten wir die Freisetzung der side-on gebundenen Cr(CO)<sub>5</sub>-Einheit unter Bildung des Diphosphen-Komplexes (Ph)P=P(Ph)[Cr(CO)<sub>5</sub>]<sub>2</sub> früher schon beschrieben [2a]. Ebenso hatten wir beobachtet, das Ia die für P=P-Doppelbindungen charakteristischen Reaktionen ergibt [16], ohne dass es notwendig ist die Verbindung RP=PR[Cr(CO)<sub>5</sub>]<sub>2</sub> mit unkomplexierter P=P-Doppelbindung freizusetzen.

Wir zeigen hier, dass dieses Syntheseprinzip sich von Ia (R = Ph) auch auf Verbindungen I mit anderen Resten R übertragen lässt.

Als charakteristische Reaktion von RP=PR-Komplexen erweist sich die stereoselektive *trans*-Addition von HX [16]. Neben Wasser, Alkoholen und Aminen [16] lassen sich auch Carbonsäuren addieren.

Ia reagiert mit Essigsäure zum gelb-orangefarbenen Additionsprodukt V.

V ist ein kristalliner Festkörper, der besonders in Lösung sehr hydrolyse- und luftempfindlich ist. Seine Charakterisierung erfolgt zweifelsfrei durch Analyse, Massen-, IR-, <sup>1</sup>H- und <sup>31</sup>P-NMR-Spektren.

Ähnlich wie für Ia beschrieben [16] reagieren auch Ic und If mit Methanol unter 1,2-Addition.

$$(CO)_{5}Cr = R$$

$$R = P = P$$

$$Cr(CO)_{5}$$

$$Cr(CO)_{5}$$

$$(Ic, R = Anisyl;$$

$$If, R = Et)$$

$$MeOH = CO)_{5}Cr - P - P - Cr(CO)_{5} + \cdots$$

$$(VIa)$$

$$(VIa)$$

Die gelben kristallinen Verbindungen VI sind analytisch und spektroskopisch gesichert. Für die Umwandlung Ic → VIa wird die bei entsprechenden Reaktionen von Ia gefundene strenge Stereoselektivität [16] <sup>1</sup>H- und <sup>31</sup>P-NMR-spektroskopisch nachgewiesen. Im Vergleich mit den Reaktionen von Ia wird man auch hier auf erythro-Selektivität schliessen dürfen [16].

Bei der Methanol-Addition an If entsteht dagegen, wie die NMR-Spektren zeigen, ein Gemisch an Stereoisomeren. Die Stereosektivität der 1,2-Additionsreaktionen von Verbindungen des Typs I hängt daher offenbar von den sterischen und elektronischen Eigenschaften der Reste R ab.

[2 + 4]-Cycloadditionen verlaufen dagegen offenbar für R = Aryl und R = Alkyl stereoselektiv. Im Ergebnis entsprechen sie einer *cis*-Addition der beiden terminalen Gruppe des Diens an die P=P-Doppelbindung [16]. So reagiert Ig mit 2,3-Dimethylbutadien unter Bildung des Additionsproduktes VII.

Die spektroskopischen Daten beweisen, dass nur eines der beiden möglichen Isomeren gebildet wird. Im Vergleich mit den strukturanalytisch gesicherten Beispielen analoger Reaktionen [16,17] kann man daraus schliessen, dass die Stereochemie von VII im Ergebnis einer synchronen [2 + 4]-Cycloaddition entspricht.

### **Experimenteller Teil**

Sämtliche Arbeiten wurden unter  $N_2$  als Schutzgas mit frisch destillierten und absolutierten Lösungsmitteln durchgeführt. Das zur Chromatographie benützte Kieselgel (Korngrösse 0.06-0.2 mm Fa. Merck) bzw. Kieselgur (Riedel de Haen) wurde bei Raumtemperatur im Hochvakuum ( $10^{-2}$  mbar) entgast und mit  $N_2$  beladen. Massenspektren: Varian MAT-112S, Einlass Ofenschiffchen; IR-Spektren: Zeiss IMR 40, CaF<sub>2</sub>-Küvetten (w = schwach, m = mittel, s = stark, vs = sehr stark, vw = sehr schwach, sh = Schulter, b = breit);  $^1$ H-NMR-Spektren: Bruker WP 80 FT, 80 MHz (Standard: intern durch Lösungsmittel; Aceton- $d_6$  2.04 ppm, CDCl<sub>3</sub> 7.24 ppm rel. TMS; S = Singulett, D = Dublett, Q = Quartett, M = Multiplett);  $^{31}$ P-NMR-Spektren: Bruker Multikernspektrometer WP 80 FT, 32.38 MHz (Standard extern: P(OCH<sub>3</sub>)<sub>3</sub> mit  $\delta$ (P(OCH<sub>3</sub>)<sub>3</sub>) 139 ppm rel. 85% H<sub>3</sub>PO<sub>4</sub>). Ausgangssubstanz:  $Na_2M_2(CO)_{10}$  [1]; (R)P(Cl)<sub>2</sub> [18].

# Darstellung der Verbindungen I, II, III und IV

1 g  $Na_2M_2(CO)_{10}$  (M = Cr: 2.33 mmol; M = Mo: 1.93 mmol; M = W: 1.44 mmol) werden in 100 ml THF gelöst und mit der äquimolaren Menge des entsprechenden Dichlorphosphans versetzt (Tab. 4). Nach zweistündigem Rühren filtriert man vom entstandenen Niederschlag über 3 cm Kieselgur ab und entfernt das Lösungsmittel bei 20°C und  $10^{-2}$  mbar. Der ölige Rückstand (für M = Cr, R = Et, <sup>n</sup>Bu besitzt er grüne Farbe; für R = <sup>t</sup>Bu, M = Mo, W blaue Farbe) wird in  $CH_2Cl_2$  aufgenommen und 18 h bei 20°C gerührt. Die nun rot-orange Lösung wird mit 3 g Kieselgel versetzt, bis zur Rieselfähigkeit aufgezogen und bei -30°C über

TABELLE 3 IR-,  $^{1}$ H-NMR- UND  $^{31}$ P-NMR-DATEN DER VERBINDUNGEN [M(CO) $_{5}$ ] $_{3}$ RP=PR (Ia-f)

Verbindung			IR (cm <sup>-1</sup> ), ν(CO	)	<sup>1</sup> H-NMR	<sup>31</sup> P-NMR <sup>c</sup>			
M = R =		R =	n-Pentan	CH <sub>2</sub> Cl <sub>2</sub>	(ppm)	(ppm)			
Ia	Cr	Ph	2089w, 2062s, 2012m, 2003s, 1998m, 1986w, 1962s, 1952vs, 1932w	2090m, 2062s, 2015w, 1999sb, 1948sb	Ph: 7.55–8.05 (M, 10H) <sup>a</sup>	97			
Ib	W	Ph	2101w, 2075m, 2068m, 2036m, 2010m, 2001m, 1986m, 1960vs,	2102m, 2068s, 2010s, 1997s, 1942vsb 1946vs,	Ph: 7.45–8.15 (M, 10H) <sup>a</sup>	-16.6			
Ic	Cr	Anisyl	2086w, 2060s, 2007m, 2000s, 1997m, 1982w, 1959s, 1949vs, 1933w	2088m, 2060s, 2010wsh, 1998sb, 1947sb	OCH <sub>3</sub> : 3.88 (S, 6H) <sup>b</sup> Ph: 7.10–8.05 (M, 8H)	108.5			
Id	Cr	Ме	2088w, 2060s, 2011m, 1996s, 1990s, 1987wsh, 1962vs, 1951s	2089m, 2061s, 2010w, 1986sb, 1956sb, 1947sb	Me: 1.99 ( <sup>2</sup> J(PH) 4 Hz) <sup>b</sup> (Pseudotriplett)	78.1			
Ie	Мо	Me	2098w, 2071s, 2014m, 2009s, 1997s, 1965sh, 1957vs	2101m, 2073s, 2008mb, 1991mb, 1952vsb	CH <sub>3</sub> : 2.01 ( <sup>2</sup> J(PH) 5 Hz, 6H) Pseudotriplett <sup>b</sup>	27.2			
If	Cr	Et	2086w, 2060s, 2007m, 1988s, 1960vs, 1947s	2089w, 2065s, 1986m, 1958vsb	Et: 1.1–1.94 (M, 10H) <sup>b</sup>	103.7			
Ig	Cr	<sup>n</sup> Bu	2085w, 2059s, 2007m, 1989s, 1958vs, 1946s	2088m, 2062s, 2008w, 1987sb, 1955sb, 1945sb	CH <sub>3</sub> : 0.99 (T, 6H) <sup>b</sup> ( <sup>2</sup> J(HH) 6.5 Hz) (CH <sub>2</sub> ) <sub>3</sub> : 1.15–2.76 (M, 12H)	99.9			

<sup>&</sup>lt;sup>a</sup> Aceton-d<sub>6</sub>. <sup>b</sup> CDCl<sub>3</sub>. <sup>c</sup> CH<sub>2</sub>Cl<sub>2</sub>.

Kieselgel (15  $\times$  2.5 cm) chromatographiert. Die Reaktionsprodukte werden aus  $CH_2Cl_2/n$ -Pentan umkristallisiert.

Laufmittelverhältnisse, Ausbeuten, Schmelzpunkte, Molmassen und Analysendaten der Verbindungen I-VI sind in Tab. 4 zusammengestellt. Die Massenspektren der Verbindungen I sind Tab. 5 zu entnehmen.

Spektroskopische Daten der Verbindungen II, III und IV (IR: cm $^{-1}$ ; NMR:  $\delta$ -Werte in ppm)

IIa: IR (n-Pentan): 2069m, 1977s, 1965vs.  $^{1}$ H-NMR (CDCl<sub>3</sub>): 0.86–1.76 (M, 6H); 2.15–2.94 (M, 4H).  $^{31}$ P-NMR (CH<sub>2</sub>Cl<sub>2</sub>/0°C): 184. MS (m/e ( $I_r$ )):  $M^+$  574(8),  $M^+$  nCO (n = 1–10) 546(1) - 294(12),  $M^+$  - 2Cl 504(1),  $M^+$  - 10CO - Cl 259(29),  $M^+$  - 2Cl - Cr(CO)<sub>5</sub> 311(100), Cr<sub>2</sub>P<sub>2</sub>Et<sub>2</sub>Cl<sup>+</sup> 259(10), CrP<sub>2</sub>EtCl<sup>+</sup> CrPEt<sup>+</sup> 112(19), Cr<sup>+</sup> 52(10).

TABELLE 4
SYNTHESE- UND ANALYSENDATEN DER VERBINDUNGEN I-IV

Produkt	Phosphan	Laufmittel "	Ausbeute b	Schmp.	Summenformel	Analysendate	Analysendaten (Ber. (Gef.)(%))
	mg (mmol)		mg (%)	(O°)	(Molmasse)	၁	Н
III	(CO) <sub>5</sub> CrP(Ph)(Cl) <sub>2</sub>	5/1	170 (14)	141	C <sub>22</sub> H <sub>12</sub> Cr <sub>2</sub> O <sub>10</sub> P <sub>2</sub>	43.87	2.01
Ib	860 (2.32) (CO) <sub>5</sub> WP(Ph)(CI) <sub>2</sub>	5/1	(6) 08	180	$({}^{0}02.2.7)$ $C_{27}H_{10}O_{15}P_2W_3$	( <del>4</del> 5.0 <del>4</del> ) 26.85	0.91
lc Ic	720 (1.43) (CO), CrP(Anisyl)(Cl) <sub>2</sub>	1/1	400 (41)	127	$(1187.86)$ $C_{29}H_{14}Cr_3O_{17}P_2$	(27.52)	(0.99) 1.69 <sup>d</sup>
72	930 (2.31) (CO), CrP(MeVCI),	1.7	430 (56)	136	(852.35) CH.Cr.O., P.	(39.73) 29.57	(1.66) 0.99 <sup>d</sup>
į	710 (2.30)	• /•	(22) 251		(668.16)	(29.48)	(0.80)
le	P(Me)(CI) <sub>2</sub>	3/1	90 (12)	140	$C_{17}H_6Mo_3O_{15}P_2$ (800.00)	24.95	0.76 <sup>d</sup> (0.61)
IIa	P(Et)(Cl) <sub>2</sub>	5/1	250 (19)	155	C <sub>14</sub> H <sub>10</sub> Cl <sub>2</sub> Cr <sub>2</sub> O <sub>10</sub> P <sub>2</sub> (575.08)	29.24	1.75
If	(7:30)	0/1	280 (35)	158	$C_{19}H_{10}C_{13}O_{15}P_{2}$	31.70	1.45
IIb	P("Bu)(Cl) <sub>2</sub>	5/1	100 (14)	141	$^{(696.22)}_{C_{18}H_{18}Cl_2Cr_2O_{10}P_2}$	34.25	2.87
δĮ	370 (2.32)	1/1	350 (40)	125	$(631.18) \\ C_{\gamma 1} H_{18} C \Gamma_1 O_{1\varsigma} P_{,}$	(34.50) 36.72	(2.90) 2.41
<b>o</b>		•			(752.33)	(36.89)	(2.27)
IVa	P('Bu)(Cl) <sub>2</sub> 300 (1.88)	10/1	40 (7)	160	$(C_{16}H_{20}Mo_2O_8P_2)$ (594.16)	32.34 (31.91)	3.39 (3.46)
IVb	P('Bu)(Cl) <sub>2</sub> 225 (1.42)	10/1	85 (13)	188	$C_{16}H_{20}O_8P_2W_2$ (769.98)	24.96 (24.95)	2.62 (2.56)

<sup>a</sup> n-Pentan/CH<sub>2</sub>Cl<sub>2</sub>. <sup>b</sup> % bez. auf Phosphan. <sup>c</sup> (Zers.), unkorrigierte Werte. <sup>d</sup> mit 1/2 Mol CH<sub>2</sub>Cl<sub>2</sub> pro Formeleinheit.

MASSENSPEKTREN DER VERBINDUNGEN Ia-g "

TABELLE 5

	I,	1					_	1		_	7	_	_	_	7	7	7			-	14	_	88		1	99	70	100	47	
gl	a/m	752	1	1	1	1	612	584	ļ	528	200	472	4	416	388	360	332	ı	ì	223	166	114	84	1	88	57	22	41	39	
	$I_r$	∞					-	11	14	4	32	49	14	21	28	30	27	6	3	9	41	4	88		17		100	28	œ	
<u>.</u>	m/e	969	1	1	612	ı	1	556	528	200	472	444	416	388	360	332	304	224	172	195	166	114	84	120	99	1	52	41	36	
	I,	1	1	1		9	∞	12	10	76	13	13	6	12	6	œ	15	16	100	100	82	89	88	41	100	100				
le "	m/e	008	772	74	1	889	099	632	604	576	548	520	492	464	436	408	380	284	188	569	254	158	128	35	4	%				
	I,	99	1	1	1	4	31	41	4	78	8	47	43	52	4	41	79	<b>∞</b>		7	21		16		33		∞			
ΡI	m/e	899	640	612	584	556	528	200	472	44	416	388	360	332	304	276	248	196	1	181	166	1	84	ŧ	4	ı	52	1	ł	ı
	$I_r$	2		-			1			-	7	-	1		_	÷	-	70	9	,	7	-	100	1	15	18	100	93	13	m
ol.	a/m	852	i	962	1	ı	712	,	ţ	628	909	572	544	516	488	460	432	380	328	273	166	114	84	276	138	107	52	41	39	91
	Ir		3			-	_	-		-	_		_	7		_	3	က		4	_			_	4	9		2	3	7
$^{9}$	m/e	ı	1160	1	ł	1760	1048	1020	1	964	936	1	880	852	t	96	298	584	1	207	430	1	ı	216	108	11	1	41	39	91
	$I_r$	7	-	1				8	1		7	9	ъ	٣	3	4	7	38	6	7	7	62	100	_	11	10	100	62	10	4
Ia	m/e	792	764	736	1	1	ı	652	624	ì	268	540	512	484	456	428	400	320	708	243	991	114	<b>2</b>	216	108	11	52	41	39	16
		M <sup>+</sup>	$M^+$ – CO	$M^+$ – 2CO	$M^{+} - 3C0$	$M^+ - 4C0$	$M^+ - 5$ CO	$M^{+} - 6C0$	$M^+ - 7CO$	$M^+$ – 8CO	$M^{+} - 9CO$	$M^+ - 10$ CO	$M^{+} - 11C0$	$M^{+} - 12C0$	$M^{+} - 13C0$	$M^{+} - 14C0$	$M^{+} - 15C0$	$M_2P_2R_2^{\dagger}$	$MP_2R_2^+$	$M_2P_2R^+$	$\mathbf{M_2P_2}^+$	$MP_2^+$	MPH <sup>+</sup>	$P_2R_2^+$	PR <sup>+</sup>	+ +	$\mathbf{M}^{+}$	$C_3H_5^+$	$C_3H_3^+$	$C, H,^{\dagger}$

<sup>a</sup> Für alle Komplexe I existiert parallel zur angegebenen Zerfallsreihe noch ein Fragmentierungsweg, bei dem im primären Schritt eine M(CO)<sub>5</sub>-Gruppe abgespalten wird und erst im Anschluss daran die verbliebenen CO-Gruppen sukzessiv abgespalten werden. Im Fall der Verbindung Ia ist diese Fragmentserie von höherer Intensität. <sup>b</sup> Die Substanz zersetzen sich bei der Aufnahme der Spektren.

IIb: IR (n-Pentan): 2068m, 1974s, 1964vs.  $^{1}$ H-NMR (CDCl<sub>3</sub>): 1.03 (T, J(HH) 7 Hz, 6H); 1.35–2.20 (M, 8H); 2.30–3.08 (M, 4H).  $^{31}$ P-NMR (CH<sub>2</sub>Cl<sub>2</sub>/0°C): 181. MS (m/e ( $I_r$ )):  $M^+$  630(17),  $M^+$  nCO (n = 2–10) 574(2) – 350(7),  $M^+$  Cl 595(2),  $M^+$  2Cl 560(3),  $M^+$  10CO – Cl 315(3),  $M^+$  10CO – 2Cl 280(43),  $M^+$  2Cl – Cr(CO)<sub>5</sub> 368(100), CrP<sub>2</sub>Bu<sub>2</sub>Cl<sup>+</sup> 263(25), CrP<sub>2</sub>Bu<sub>2</sub><sup>+</sup> 228(37), P<sub>2</sub>Bu<sub>2</sub><sup>+</sup> 176(9), CrP<sub>2</sub>Bu<sup>+</sup> 171(29), CrPBu<sup>+</sup> 140(10), C<sub>3</sub>H<sub>5</sub> 41(26), Cr<sup>+</sup> 52(61).

III: IR (n-Pentan): 2073w, 2062m, 2000w, 1961vs, 1947sh, 2342vw, 2307vw. 

<sup>1</sup>H-NMR (Aceton- $d_6$ ): 7.4–7.74 (M, 10H); 5.82 (D, <sup>1</sup>J(PH) 332 Hz) bzw. 5.76 (D, <sup>1</sup>J(PH) 332 Hz). <sup>31</sup>P-NMR (CH<sub>2</sub>Cl<sub>2</sub>/0°C): 25.6 bzw. 26.4 (D, <sup>1</sup>J(PH) 332 Hz). MS (m/e ( $I_r$ )):  $M^+$  (602(9),  $M^+$  – nCO (n = 4–10) 490(2) – 322(43),  $M^+$  – 10CO – Cr 270(100), PR <sup>+</sup> 108, R <sup>+</sup> 77, Cr <sup>+</sup> 52(100).

IVa: IR (n-Pentan): 2038w, 2031s, 1978m, 1971vs, 1967s, 1956wsh, ca. 2300vw.  $^{1}$ H-NMR (CDCl<sub>3</sub>): 1.59 (D,  $^{3}$ J(PH) 17 Hz, 18H); 6.72 (D,  $^{1}$ J(PH) 325 Hz, 2H).  $^{31}$ P-NMR (CH<sub>2</sub>Cl<sub>2</sub>/0°C): 217 (D,  $^{1}$ J(PH) 325 Hz). MS (m/e ( $I_r$ )):  $M^+$  594(8),  $M^+$ -nCO (n = 1-8) 566(8) – 370(9),  $M^+$ - 2R – 5CO 340(4),  $M^+$ - 2R – 6CO 312(27),  $M^+$ - 2R – 7CO 284(1),  $M_2$ P<sub>2</sub> + 254(24), R + 57(46),  $C_3$ H<sub>5</sub> + 41(100),  $C_3$ H<sub>3</sub> + 39(35).

*IVb*: IR (n-Pentan): 2039wsh, 2030s, 1972m, 1961vs, 1957s, 1946w, ca. 2300. 

<sup>1</sup>H-NMR (CDCl<sub>3</sub>): 1.61 (D, <sup>3</sup>J(PH) 18 Hz, 18H); 7.46 (D, <sup>1</sup>J(PH) 350 Hz, 2H). 

<sup>31</sup>P-NMR (CH<sub>2</sub>Cl<sub>2</sub>/0°C): 162 (D, <sup>1</sup>J(PH) 350 Hz). MS (m/e ( $I_r$ )):  $M^+$  770(22),  $M^+$  - nCO (n = 1-8) 742(19) - 546(14),  $M^+$  - 2R - 5CO 516(8),  $M^+$  - 2R - 6CO 488(27),  $M^+$  - 2R - 7CO 460(1),  $M_2$ P<sub>2</sub> + 432(24),  $R^+$  57(46),  $C_3$ H<sub>5</sub> + 41(100),  $C_3$ H<sub>3</sub> + 39(35).

# Darstellung der Verbindungen V, VI und VII

100 mg I werden in 30 ml Toluol gelöst und 15 min bei 70°C gerührt (für Ic tritt dabei ein Farbwechsel nach violett ein). Anschliessend wird 1 ml Reagens zugegeben und solange weitergerührt, bis die Lösung gelb gefärbt ist (vgl. Tab. 6). Das Lösungsmittel wird bei  $10^{-2}$  mbar entfernt, der Rückstand auf 1 ml Kieselgel aufgezogen und bei -30°C über Kieselgel (15 × 1.5 cm) chromatographiert. Umkristallisation aus Toluol/n-Pentan ergibt die Verbindungen V-VII in analysenreiner Form.

TABELLE 6
SYNTHESEDATEN DER VERBINDUNGEN V-VII

Verbindung	einges. Komplex mg (mmol)	Reagens	Reaktionszeit nach Zugabe (Min.)	Laufmittel <sup>a</sup>
v	Ia 100 (0.13)	CH <sub>3</sub> COOH	45	1/2
VIa	Ic 100 (0.12)	СН₃ОН	15	1/2
VIb	If 100 (0.14)	СН₃ОН	4560	1/2
VII	Ig 100 (0.13)	2,3-Dimethyl- butadien	90–120	1/1

a n-Pentan/Toluol.

Verbindung	Summenformel	Ausbeute a	Schmp. b	Analysendaten (Ber. (Gef.) (%))						
	(Molmasse)	mg (%)	(°C)	C	Н					
$\overline{\mathbf{v}}$	$C_{24}H_{14}Cr_2O_{12}P_2$	50 (58)	93	43.66	2.14 °					
	(660.31)	•		(44.06)	(1.99)					
VIa	$C_{25}H_{18}Cr_2O_{13}P_2$	60 (67)	151	43.37	2.62					
VIA	(692.35)	. ,		(43.69)	(2.52)					
VIb	$C_{15}H_{14}Cr_2O_{11}P_2$	60 (67)	146	33.60	2.61					
V10	(536.21)	. ,		(33.50)	(2.50)					
VII	$C_{24}H_{28}Cr_2O_{10}P_2$	30 (36)	118	44.87	4.39					
VII	(642.42)	\ 1/		(45.18)	(4.35)					

TABELLE 7
ANALYSENDATEN DER VERBINDUNGEN V-VII

Laufmittelverhältnisse, Ausbeuten, Schmelzpunkte, Molmassen und Analysendaten der Verbindungen V-VII sind in Tab. 6 und 7 zusammengestellt.

Spektroskopische Daten der Verbindungen V, VI und VII (IR:  $cm^{-1}$ ; NMR:  $\delta$ -Werte in ppm)

V: IR (n-Pentan): 2073w, 2064m, 1992w, 1963s, 1957s, 1941m. <sup>1</sup>H-NMR (Aceton- $d_6$ ): 2.49 (S, 3H); 5.70 (DD, <sup>1</sup>J(PH) 334, <sup>2</sup>J(PH) 14 Hz, 1H); 7.2–7.9 (M, 10H). <sup>31</sup>P-NMR (CH<sub>2</sub>Cl<sub>2</sub>/0°C): 181.4 (D, J(PP) 186 Hz); 66.2 (Q, <sup>1</sup>J(PH) 334, J(PP) 186 Hz). MS (m/e ( $I_r$ )):  $M^+$  660(4),  $M^+$  – nCO (n = 1–10) 632(2) – 380(36),  $M^+$  – 10CO – Cr 228(20),  $M^+$  – 10CO – Ph 303(15),  $M^+$  – 10CO – CrCH<sub>2</sub>COO 270(35), CrPRH<sub>2</sub> + 162(14), CrPR + 160(6), CH<sub>3</sub>CO + 43(26).

VIa: IR (n-Pentan): 2072w, 2062m, 1979w, 1958vs, 1953sh, 2312vw. <sup>1</sup>H-NMR (Aceton- $d_6$ ): 3.8–4.22 (M, 9H), 6.21 (DD, <sup>1</sup>J(PH) 320, <sup>2</sup>J(PH) 22 Hz); 6.88–7.79 (M, 8 H). <sup>31</sup>P-NMR (CH<sub>2</sub>Cl<sub>2</sub>/0°C): 165.0 (D, J(PP) 169 Hz); 39.2 (Q, <sup>1</sup>J(PH) 320, J(PP) 169 Hz). MS (m/e ( $I_r$ )):  $M^+$  692(6)  $M^+$  – nCO (n = 5–10) 552(10) – 412(37),  $M^+$  – 10CO – Cr 360(42), CrPRH<sub>2</sub><sup>+</sup> 192(10), CrPR<sup>+</sup> 190(3), PR<sup>+</sup> 138(2), C<sub>7</sub>H<sub>7</sub><sup>+</sup> 91(23), Cr<sup>+</sup> 52(100).

VIb: IR (n-Pentan): 2073w, 2061m, 1984w, 1971sh, 1961vs, 1950vs, 1945s, 1932s, 2338w, 2300w.  $^{1}$ H-NMR (CDCl<sub>3</sub>): 3.75 (D,  $^{2}$ J(PH) 11 Hz, 3H); 1.05–2.67 (M, 10H); 5.62 (DD,  $^{1}$ J(PH) 315,  $^{2}$ J(PH) 13 Hz, 1H).  $^{31}$ P-NMR (CH<sub>2</sub>Cl<sub>2</sub>/0°C): 191.1 (D, J(PP) 174 Hz), 32.2 (Q,  $^{1}$ J(PH) 311, J(PP) 174 Hz); 170.2 (D, J(PP) 180 Hz); 15.9 (Q,  $^{1}$ J(PH) 317, J(PP) 180 Hz). MS (m/e ( $I_r$ )):  $M^+$  536(4),  $M^+$ –nCO (n = 1–10) 508(1) – 256(18),  $M^+$ –10CO – C<sub>2</sub>H<sub>4</sub> 228(16),  $M^+$ –10CO – 2(C<sub>2</sub>H<sub>4</sub>) 200(27), CrPRH<sub>2</sub> $^+$  114(9), CrPR $^+$  112(4), HP(OMe)Et $^+$  92(60), P(OMe)Et $^+$  91(100), Cr $^+$  52(63).

VII: IR (n-Pentan): 2069m, 2061m, 1986w, 1955s, 1950vs, 1948vs, 1933s.  $^{1}$ H-NMR (CDCl<sub>3</sub>): 1.02 (T, J(HH) 3.6, 3H); 1.9 (S, 6H); 1.2–1.76 (M, 6H); 2.5–2.8 (M, 4H).  $^{31}$ P-NMR (CH<sub>2</sub>Cl<sub>2</sub>/0°C): 24.2 MS (m/e ( $I_r$ )):  $M^+$  642(20),  $M^+$ –nCO (n = 1–10) 614(1) – 362(36),  $M^+$ – 10CO – Cr 310(65), PR  $^+$  88(43), R  $^+$  57(100), Cr  $^+$  52(37), C<sub>3</sub>H<sub>7</sub>  $^+$  43(57), C<sub>3</sub>H<sub>5</sub>  $^+$  41(10).

#### **Dank**

Wir danken der Deutschen Forschungsgemeinschaft, Bonn-Bad-Godesberg, und dem Verband der Chemischen Industrie, Fonds der Chemischen Industrie, Frank-

<sup>&</sup>lt;sup>a</sup> (%) bez. auf I). <sup>b</sup> (Zers.), unkorrigierte Werte. <sup>c</sup> 15.75 (15.99) %Cr.

furt/Main, für die Unterstützung der Arbeit. Herrn Dipl. Chem. K. Knoll sind wir für die Aufnahme der Massenspektren zum Dank verpflichtet. Frau M. Glas danken wir für die Durchführung der Elementaranalysen.

### Literatur

- 1 E. Lindner, H. Behrens und S. Birkle, J. Organomet. Chem., 17 (1968) 165.
- (a) J. Borm, L. Zsolnai und G. Huttner, Angew. Chem., 95 (1983) 1018; Angew. Chem. Int. Ed. Engl.,
   (1983) 977; Angew. Chem. Suppl., (1983) 1463; (b) H. Lang, O. Orama und G. Huttner, J. Organomet. Chem., 291 (1985) 293; G. Huttner, J. Borm und L. Zsolnai, J. Organomet. Chem., 263 (1984) C33; zit. Lit.
- 3 (a) G. Huttner, H.-G. Schmid, A. Frank und O. Orama, Angew. Chem., 88 (1976) 255; Angew. Chem. Int. Ed. Engl., 15 (1976) 234; siehe auch [12]; (b) B. Sigwarth, L. Zsolnai, O. Scheidsteger und G. Huttner, J. Organomet. Chem., 235 (1982) 43.
- 4 (a) G. Huttner, U. Weber, B. Sigwarth und O. Scheidsteger, Angew. Chem., 94 (1982) 210; Angew. Chem. Int. Ed. Engl., 21 (1982) 215; Angew. Chem. Suppl., (1982) 411; siehe auch [12]; (b) U. Weber, L. Zsolnai und G. Huttner, J. Organomet. Chem., 260 (1984) 281.
- 5 Die Verbindungen  $RP[L_nM]_2$  entstehen ihrerseits wenigstens zum Teil aus den nicht isolierbaren einkernigen Derivaten  $RP[L_nM]$ : J. Borm, G. Huttner und O. Orama, J. Organomet. Chem., im Druck.
- 6 J. v. Seyerl und G. Huttner, J. Organomet. Chem., 193 (1980) 207.
- 7 J. Borm, G. Huttner und L. Zsolnai, Angew. Chem., im Druck.
- 8 U. Weber, G. Huttner, O. Scheidsteger und L. Zsolnai, J. Organomet. Chem., 289 (1985) 357.
- 9 Die Daten sind beim Fachinformationszentrum Energie Physik Mathematik, D-7514 Eggenstein-Leopoldshafen unter der Nummer 51642 interlegt. Messbedingungen: Synthex R3-Diffraktometer,  $\text{Mo-}K_{\alpha}$ ,  $\lambda$  71.069 pm, Graphitmonochromator,  $\omega$ -scan,  $\Delta\omega=1^{\circ}$  1.8 <  $\dot{\omega}$  < 29.3° min<sup>-1</sup>. Verbindung Ib. Raumgruppe  $P2_1/c$ ; a 2455(2), b 1698(2), c 1895(1) pm;  $\beta$  122.47(6)°; V 6664×10<sup>6</sup> pm³; Z=8;  $d_{\text{ber}}$  2.37 g cm<sup>-3</sup>;  $\mu$ -Mo- $K_{\alpha}$  111 cm<sup>-1</sup>; T 243 K;  $R_1=0.055$ ,  $R_2=0.062$ . Verbindung IVb. Raumgruppe  $P2_1/c$ , a 905.8(7), b 1235(1), c 1387(1) pm;  $\beta$  135.23(5)°; V 1093×10<sup>6</sup> pm³; Z=2;  $d_{\text{ber}}$  2.34 g cm<sup>-3</sup>;  $\mu$ -Mo- $K_{\alpha}$  113.02 cm<sup>-1</sup>; T 293 K;  $R_1=0.040$ ,  $R_2=0.049$ .
- 10 H. Lang, G. Mohr, O. Scheidsteger und G. Huttner, Chem. Ber., 118 (1985) 574.
- 11 A. Winter, G. Huttner, L. Zsolnai, P. Kroneck und M. Gottlieb, Angew. Chem., 96 (1984) 986; Angew. Chem. Int. Ed. Engl., 23 (1984) 975.
- 12 (a) G. Huttner, P. Friedrich, H. Willenberg und H.-D. Müller, Angew. Chem., 89 (1977) 268; Angew. Chem. Int. Ed. Engl., 16 (1977) 260; (b) A.-M. Hinke, A. Hinke und. W. Kuchen, J. Organomet. Chem., 258 (1983) 307; U. Weber, L. Zsolnai und G. Huttner, Z. Naturforsch. B, im Druck.
- 13 H. Lang, G. Huttner, G. Mohr, B. Sigwarth, U. Weber, I. Jibril, L. Zsolnai und O. Orama, Z. Naturforsch. B, im Druck.
- 14 H. Lang, Dissertation Universität Konstanz, 1985.
- H. Vahrenkamp, Chem. Ber., 111 (1978) 3472; M.H. Link und L.R. Nassimbeni, Inorg. Nucl. Chem. Lett., 9 (1973) 1105; A. Winter, O. Scheidsteger und G. Huttner, Z. Naturforsch. B, 38 (1983) 1525; M. Herberhold und G. Süss, J. Chem. Res. (M), (1977) 2720; J. Chem. Res. (S), (1977) 246; M. Hohmann, L. Krauth-Siegel, K. Weidenhammer, W. Schulze und M.L. Ziegler, Z. Anorg. Allg. Chem., 481 (1981) 95.
- 16 J. Borm, G. Huttner, O. Orama und L. Zsolnai, J. Organomet. Chem., 282 (1985) 53.
- 17 G. Huttner und I. Jibril, Angew. Chem., 96 (1984) 708; Angew. Chem. Int. Ed. Engl., 23 (1984) 739.
- 18 Th. Weil, B. Prijs und H. Erlenmeyer, Helv. Chim. Acta, 36.2 (1953) 1314.